



Research Article

The application of drone technology in investigating the morphometric changes of the river (Case study: Vaz river, Chamestan)

Maryam Rashidi¹, Mohammad Mahdi Hosseinzadeh^{*1} , Reza Esmaili²

1-Department of Physical Geography, Faculty of Earth Sciences, Shahid Beheshti University, Tehran, Iran

2-Department of Geography, Faculty of Humanities and Social Sciences, Mazandaran University, Babolsar, Iran

Received: 02 Mar 2024 Accepted: 09 Jun 2024

Extended Abstract

Introduction

The newly emerging and rapidly evolving technology of Unmanned Aerial Systems (UASs), covering a wide range of devices and enabling photogrammetric applications from user-driven platform, presents new possibilities for research in geomorphology by obtaining spatially accurate geographic data. The low-level altitude of flight allows researchers to obtain imagery at high levels of detail, which is necessary for a detailed analysis of even fine fluvial forms of the dynamic river channels or landslides. After the early 2010s, the use of UAVs equipped with an RGB camera has become widely applied in geomorphology. It has expanded the capability of low-altitude aerial photo shootings and subsequent SfM photogrammetry. The basic principle of SfM photogrammetry is the same as the conventional photogrammetry, but SfM enables automatic alignment of many (hundreds to thousands) images thanks to automated detection of numerous tie-points, and then produces dense point cloud and rasterized DEMs, as well as orthorectified mosaic images. One of the advantages of SfM photogrammetry is its flexibility across camera platforms. conventional aerial images, and ground-based images are commonly used platforms to 3D models by SfM.

Materials and Methods

The Vaz watershed is located in the northern slope of the Alborz Mountain range and in the south of Chamestan city, which in terms of political divisions, this basin is located in Noor city of Mazandaran province. First, using the library method, international and domestic scientific literature was studied in order to examine the background and different methods of using UAVs in river studies and to prepare a study framework. After imaging, it was processed in Metashape software (Metashape 1.5.5) and orthophoto image and digital elevation model (DEM) were extracted in centimeters in order to prepare cross-sections and check the morphometric and hydrological characteristics of the river.

Citation: Rashidi, A. et al, 2024. The application of drone technology in investigating the morphometric, *Res. Earth. Sci.* 15(2), (43-56) DOI: 10.48308/esrj.2024.104522

* Corresponding author E-mail address: m_hoseinzadeh@sbu.ac.ir



Copyright: © 2023 by the authors. Submitted for possible open access publication under the terms and conditions of the Creative Commons Attribution (CC BY) license (<https://creativecommons.org/licenses/by/4.0/>).



Researches in Earth Sciences

Journal homepage: <https://esrj.sbu.ac.ir>



Results and Discussion

The lateral changes of the Vaz River were studied across 2 different sections of the river. The first level of analysis included building an elevation model based on imagery provided by UAVs and processed in Metashape software, with a pixel resolution size of 4.6 centimeters. Through measuring cross sections of the channel at different flows at the edges and bankfull discharge of the channel, data was acquired. This data included active depth and width of the channel, cross sectional areas, average depth, hydraulic radius and width to depth ratio. These data could be combined with hydraulic data to calculate flow velocity, discharge, stream power, shear stress and other parameters which enable the quantification of river processes. In the statistical comparison of 2 reach at channel edge discharge, some parameters such as cross-sectional area, hydraulic radius, flow velocity, maximum and average channel depth, width-to-depth ratio, channel width susceptible to flooding, channel depth ratio, discharge and Froude number, decrease at the downstream section comparing to the upstream section. However, shear stress and specific stream power of the river increase in the downstream. At the bankfull discharge of the channel, all parameters except specific stream power of the river decrease comparing to the 1st section. The specific stream power increases at the 2nd section. Afterwards the research investigated the change in cross sections across the 2 sections. At the upstream, sand mining, road construction across the channel and construction of a secondary channel had changed the composition and material of the right banks of the river. At the downstream, dam construction, had changed the flow and sedimentation regime of the river.

Conclusion

The data acquired from UAVs enables extraction of relevant morphometric and hydrological data regarding the channel and its transverse sections, due to geometric precision and high resolution. The high precision of this data provides an appropriate alternative for field works such as mapping and surveying with different cameras. Orthophoto images prepared using UAVs have enabled the more accurate identification of geomorphic features and landforms. According to data acquired from the 2 different sections of River Vaz, it was demonstrated that upstream and downstream sections are not similar and variation in morphometric characteristics causes difference in hydraulic characteristics such as flow velocity, shear stress and specific stream power. These varieties have led to different geomorphic forms at the studied sections.

Keywords: UAV imagery, SFM technic, Morphometric changes, Vaz river.



Copyright: © 2023 by the authors. Submitted for possible open access publication under the terms and conditions of the Creative Commons Attribution (CC BY) license (<https://creativecommons.org/licenses/by/4.0/>).



کاربرد فناوری پهباud در بررسی تغییرات مورفومتری رودخانه (مطالعه موردی: رودخانه واز، چمستان)

مریم رشیدی^۱، محمدمهری حسینزاده^{۱*} , رضا اسماعیلی^۲

۱- گروه جغرافیای طبیعی، دانشکده علوم زمین، دانشگاه شهید بهشتی، تهران، ایران

۲- گروه جغرافیا، دانشکده علوم انسانی و اجتماعی، دانشگاه مازندران، بابلسر، ایران

(پژوهشی) دریافت مقاله: ۱۴۰۲/۱۲/۱۲ پذیرش نهایی مقاله: ۱۴۰۳/۰۳/۲۰

چکیده گستردگی

مقدمه

فناوری نوظهور و به سرعت در حال تکامل سیستم‌های هوایی بدون سرنشین (UAS) با به دست آوردن داده‌های جغرافیایی دقیق مکانی، امکانات جدیدی را برای تحقیق در ژئومورفولوژی ارائه می‌دهد. ارتفاع پایین پرواز به محققان اجازه می‌دهد تا تصاویری را در سطوح بالایی از جزئیات به دست آورند که این جزئیات برای تجزیه و تحلیل دقیق اشکال ژئومورفیک رودخانه‌ای ضروری است. تصاویر منطقه‌ای گرفته شده در ارتفاع کم با استفاده از وسایل نقلیه هوایی بدون سرنشین تولید مدل‌های رقومی ارتفاعی با وضوح بالا را فراهم می‌کند. این داده‌ها برای نقشه‌برداری دقیق و تجزیه و تحلیل مورفومتریک لندفرم‌های رودخانه، و تشخیص تغییرات توپوگرافی کوتاه مدت به دلیل فرسایش و رسوب رودخانه مفید هستند. از اوایل دهه ۲۰۱۰، استفاده از پهپادهای مجهز به دوربین RGB به طور گستردگی در ژئومورفولوژی مورد استفاده قرار گرفت. قابلیت عکسبرداری هوایی در ارتفاع پایین و متعاقب آن فتوگرامتری تکنیک‌های ساختار حرکتی (structure from motion-sfm) را افزایش داده است. تکنیک‌های ساختار حرکتی (sfm) به لطف تشخیص خودکار نقاط اتصال متعدد، تراز خودکار بسیاری از تصاویر (صدھا تا هزاران) را امکان‌پذیر می‌کند و سپس ابر نقطه مترارکم و DEM های شطرنجی تولید می‌کند. تصاویر مشتق شده از پهپاد، تصاویر هوایی معمولی و تصاویر زمینی معمولاً پلتفرم‌هایی برای مدل‌های سه بعدی توسط SfM هستند.

مواد و روش‌ها

حوضه آبخیز واز در دامنه شمالی سلسله جبال البرز و در جنوب شهر چمستان واقع شده است که از نظر تقسیمات سیاسی، این حوضه در شهرستان نور از استان مازندران قرار دارد. ابتدا با استفاده از روش کتابخانه‌ای مقالات علمی داخلی و خارجی مطالعه شد تا پیشینه و روش‌های مختلف استفاده از پهباud در مطالعات رودخانه‌ای بررسی شود و چارچوب مطالعاتی تهیه گردد. پس از تصویربرداری، پردازش آن در نرم‌افزار متاشپ (Metashape 1.5.5) انجام و تصویر ارتوپتو و مدل ارتفاعی رقومی (DEM) با دقت سانتی‌متر جهت تهیه مقاطع عرضی و بررسی خصوصیات مورفومتریک و هیدرولوژیک رودخانه استخراج شد.

استناد: رشیدی، م. و همکاران، ۱۴۰۳. کاربرد فناوری پهباud در بررسی تغییرات مورفومتری رودخانه، پژوهش‌های دانش زمین: ۱۵(۲)،

DOI: 10.48308/esrj.2024.104522 (۴۳-۵۶)

E-mail: m_hoseinzadeh@sbu.ac.ir

* نویسنده مسئول:



Copyright: © 2023 by the authors. Submitted for possible open access publication under the terms and conditions of the Creative Commons Attribution (CC BY) license (<https://creativecommons.org/licenses/by/4.0/>).



نتایج و بحث

تغییرات عرضی کanal در ۲ بازه از رودخانه واز مورد بررسی قرار گرفت. اولین مرحله از تجربه و تحلیل شامل ساخت مدل ارتفاعی براساس خروجی از تصاویر بدست آمده به وسیله پهباءد در محیط نرم‌افزار متاشیپ با اندازه پیکس ۴/۶ سانتی‌متر است. با استفاده از اندازه‌گیری مقاطع عرضی کanal در دبی لبالی و دبی لبه کanal، داده‌هایی شامل عرض و عمق کanal فعال، مساحت مقطع عرضی، عمق متوسط، شعاع هیدرولیک و نسبت پهنا به عمق کanal رود را می‌توان بدست آورد. این مقادیر می‌توانند با داده‌های هیدرولیک ترکیب شده تا با استفاده از آن سرعت جریان، دبی، قدرت رود، تنش برشی و سایر پارامترهایی که برای کمی کردن فرایندهای کanal مهم هستند محاسبه شوند. در مقایسه آماری دو بازه در دبی لبه کanal پارامترهای مساحت مقطع عرضی، شعاع هیدرولیک، سرعت جریان، حداکثر و میانگین عمق کanal، نسبت عرض به عمق، عرض کanal مستعد سیلاب، نسبت عمق کanal، دبی و عدد فرود کاهش مقدار این پارامترها در پایین دست نسبت به بالادست شده است اما دو پارامتر تنش برشی و قدرت مخصوص رود افزایش خصوصیات کanal در پایین دست نسبت به بالادست است. در دبی لبالی کanal، تمامی پارامترها به جز قدرت مخصوص رود مقادیر در بازه دو نسبت به بازه یک کاهشی است اما در پارامتر قدرت مخصوص رود افزایش در پایین دست نسبت به بالادست وجود داشته است. در ادامه پژوهش تغییرات مقاطع عرضی در دو بازه مورد بررسی قرار گرفت. در بالادست به واسطه برداشت شن و ماسه، ایجاد جاده در عرض کanal و ایجاد کanal فرعی، در ترکیب و جنس کرانه راست رودخانه و در پایین دست به واسطه ساخت سیل بند تغییرات ایجاد شده در رژیم جریان و رسوب رودخانه مشاهده شده است.

نتیجه‌گیری

داده‌های بدست آمده از پهباءد به دلیل دقت بالای هندسی و قدرت تفکیک بالا امکان استخراج داده‌های مورفومتری و هیدرولوژیک مرتبط با کanal و نیمرخ‌های عرضی را فراهم می‌کند. این داده‌ها با توجه به دقت بالا می‌توانند جایگزین مناسبی برای کارهای میدانی از قبیل نقشه‌برداری با انواع دوربین‌ها باشد. تصاویر ارتوفوتو تهیه شده با استفاده از پهباءد امکان شناسایی عوارض و لندهای ژئومورفیک رودخانه را با دقت مناسب فراهم نموده است. براساس مقایسه داده‌های بدست آمده در دو بازه از رودخانه واز مشخص گردید که مقاطع مختلف در بالا دست و پایین دست یکسان نیستند و تغییرات در ویژگی‌های مورفومتریک باعث تغییر ویژگی‌های هیدرولیک از جمله سرعت جریان، تنش برشی و قدرت مخصوص رود شده است. این تفاوت باعث تنوع اشکال ژئومورفیک در بازه‌های مورد مطالعه شده است.

واژگان کلیدی: تصاویر پهباءد، تکنیک sfm، تغییرات مورفومتری، رودخانه واز.

ها و اندازه‌گیری‌های میدانی از نظر دقت و تفکیک مکانی، فراوانی نمونه‌گیری یا ویژگی‌های کیفی داده‌های به دست آمده در اختیار محققان قرار می‌دهد (Wyrick et al, 2014 and Flenner et al, 2013). تحقیقات هیدرولوژیکی و ژئومورفولوژیکی در بازه‌های کوچک دارای طیف وسیعی از الزامات خاص در رابطه با داده‌های تجربی و مکانی مورد نیاز برای تحقیق است. برای اینکه مبنای معتبری برای تحقیق باشد، داده‌های مکانی باید معیارهای زیر را داشته باشند:

مقدمه

پیشرفت کنونی در هیدرولوژی و ژئومورفولوژی رودخانه‌ها عمده‌تاً مبتنی بر تکنیک‌های جدید بررسی میدانی و تجزیه و تحلیل است که از فناوری‌های پیشرفته برای نظارت بر دینامیک فرآیند رواناب، انجام بررسی میدانی و نظارت از راه دور تغییرات در بستر و دینامیک رودخانه‌ها استفاده می‌کند. کاربرد این تکنیک‌ها اطلاعاتی را در سطح کیفی بسیار بالاتری نسبت به استفاده از روش‌های سنتی بررسی

SfM اغلب به عنوان داده‌های توپوگرافی باوضوح بالا (Passalacqua et al, 2015) در نظر گرفته می‌شود که بیشتر برای تحلیل در چشم اندازهای رودخانه‌ای مورد استفاده قرار می‌گیرد (Dietrich, 2016; Sofia, 2020). ترکیب پهپادها و فتوگرامتری SfM به یک رویکرد استاندارد تبدیل شده است که توسط ژئومورفولوژیست‌ها برای تهیه داده‌های توپوگرافی استفاده می‌شود (Oguchi et al, 2022). تکنیک‌های ساختار حرکتی در زمینه علوم زمین روش تازه‌ای است اما در همین مدت کوتاه توانسته است تأثیر بسیار زیادی داشته باشد چرا که این امر نقشه‌های سه‌بعدی، مقرنون به صرفه و با سرعت بالا در گستره‌های فضایی را رایه می‌دهد. تکنیک sfm این امکان را فراهم می‌آورد که داده‌های برداشت شده با استفاده از هوایپیمایی بدون سرنوشنی (پهپاد) با سهولت بیشتری مورد استفاده قرار بگیرد. رایج‌ترین کاربرد تصویربرداری با پهپاد (Unmanned aerial vehicles) بازسازی ارتفاع زمین از طریق تولید مدل رقومی زمین و تولید لایه پوشش زمین از طریق تولید ارتوfto می‌باشد که این فرایند با استفاده از الگوریتم تکنیک‌های ساختار حرکتی (SfM) از طریق تولید ابرنقطاط پراکنده و متراکم به دست می‌آیند. از آنجایی که تصویر ارتوfto به دست آمده از تصاویر پهپاد قدرت تفکیک حتی تا زیر ۵ سانتی‌متر را دارند در مطالعات مربوط به مخاطرات سیل تشخیص اندازه رسوبات سطحی و موانع گراولی در رودخانه‌های شریانی، بررسی توپوگرافی بستر و حتی داده‌های مربوط به بستر، حیات آبزیان، تشخیص تغییرات بستر و کanal در گذر زمان، پاییش سیستم رودخانه و بسیاری مطالعات دیگر در زمینه مورفولوژی رودخانه، مورفولوژی بستر، تغییرات کanal در گذر زمان، فرسایش رودخانه‌ای، kheyri et al, 2022). کمی‌سازی توپوگرافی رودخانه‌ها و شکل‌های بستر مرتبط با آن‌ها یکی از دغدغه‌های اساسی ژئومورفولوژی رودخانه‌ای برای دهه‌های اخیر بوده است. از جمله بررسی سیلاب دشت‌ها و مناطقی که در زیر آب قرار دارند با توجه به اینکه استفاده از تصاویر LIDar از نظر هزینه مقرنون به صرفه نمی‌باشد استفاده از الگوریتم‌های ساختار از حرکت (SFM) نوید یک تغییر اساسی در دسترسی به داده‌های توپوگرافی رودخانه می‌دهد (Woodget et al, 2014). پهپادها در مقایسه با LIDAR تصاویر و مدل ارتفاعی

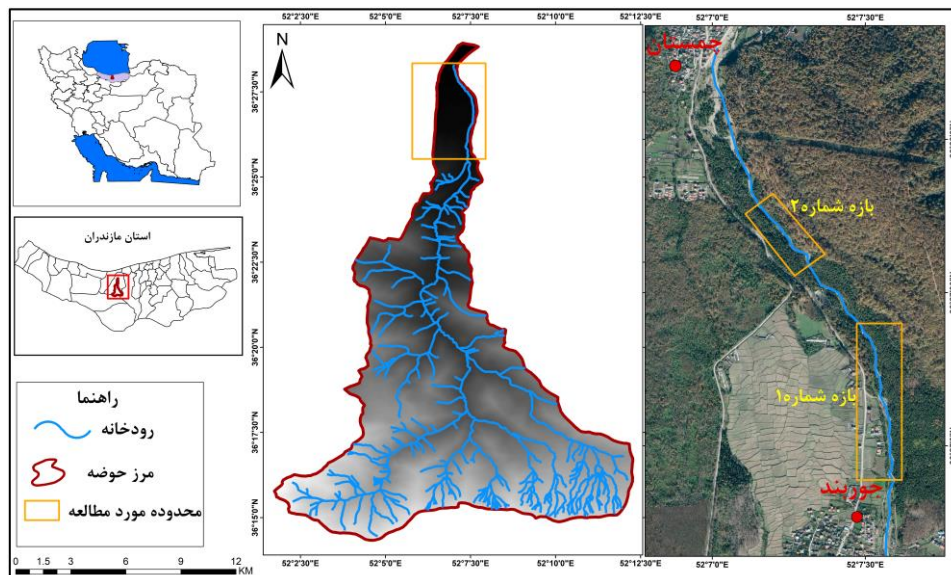
الف) وضوح و دقت مکانی بالا برای مطابقت با دقت مشاهدات و بررسی‌های میدانی. ب) وضوح زمانی بالا برای امکان ثبت تغییرات بپویا در چشم انداز. ج) عملکرد بهینه جهت قادر ساختن محققین برای به دست آوردن داده‌ها با توجه به تغییرات در چشم انداز و نیازهای بررسی‌ها. و د) هزینه معقولی برای تحقیقات تجربی داشته باشد. استفاده از منابع متعارف داده‌های مکانی، از نقشه‌ها، عکاسی هوایی کلاسیک و سنجش از راه دور ماهواره‌ای، برای حوضه‌های تجربی کوچک بسیار دشوار است. شایع‌ترین مشکل، فقدان اطلاعات مکانی مناسب با مقیاس مطالعه، تفکیک مکانی یا زمانی نامطلوب یا هزینه‌های عملیاتی هنگفت برای Hugenholz et al, (2015). فناوری نوظهور و به سرعت در حال تکامل سیستم‌های هوایی بدون سرنوشنی (UAS) با به دست آوردن داده‌های جغرافیایی دقیق مکانی، امکانات جدیدی را برای تحقیق در ژئومورفولوژی ارائه می‌دهد (Lejot et al, 2007). ارتفاع پایین پرواز به محققان اجازه می‌دهد تا تصاویر را در سطوح بالایی از جزئیات به دست آورند که این جزئیات برای تحلیل دقیق اشکال ژئومورفیک رودخانه ای ضروری است (Miříkovský et al, 2015). تصاویر منطقه‌ای گرفته شده در ارتفاع کم با استفاده از وسایل نقلیه هوایی بدون سرنوشنی تولید مدل‌های رقومی ارتفاعی با وضوح بالا را فراهم می‌کند. این داده‌ها برای نقشه‌برداری دقیق و تجزیه و تحلیل مورفومتریک لندهای رودخانه، و تشخیص تغییرات توپوگرافی کوتاه مدت به دلیل فرسایش و رسوب رودخانه مفید هستند (Gguchi et al, 2022). از اوایل دهه ۲۰۱۰، استفاده از پهپادهای مجهر به دوربین RGB به طور گستردگی در ژئومورفولوژی مورد استفاده قرار گرفت. قابلیت عکسبرداری هوایی در ارتفاع پایین و متعاقب آن فتوگرامتری تکنیک‌های ساختار حرکتی (Westoby et al, 2012; Fonstad et al, 2013; Nex and Remondino, 2014). تکنیک‌های ساختار حرکتی (sfm) به لطف تشخیص خودکار نقاط اتصال متعدد، تراز خودکار بسیاری از تصاویر (صدها تا هزاران) را امکان‌پذیر می‌کند و سپس ابر نقطه متراکم و DEM های شطرونجه تولید می‌کند. تصاویر مشتق شده از پهپاد، تصاویر هوایی معمولی و تصاویر زمینی معمولاً پلتفرم‌هایی برای مدل‌های سه بعدی توسط Bangen et al, 2014) هستند SfM محصول فتوگرامتری

۱). پایین‌ترین نقطه ارتفاعی حوضه مورد مطالعه حدود ۳۰۰ متر و بلندترین نقطه آن بیش از ۳۵۰۰ متر بالاتر از سطح آب‌های آزاد قرار دارد. ارتفاع متوسط حوضه آبخیز مورد مطالعه معادل ۱۸۰۰ متر از سطح دریا برآورد گردیده است. از نظر زمین‌شناسی حوضه آبریز واژ جزء البرز مرکزی و از نظر تکتونیکی در منطقه فعال البرز قرار گرفته است. سازندهای موجود عمدتاً متعلق به زمان مژوزوئیک به بعد می‌باشد که از قدیم به جدید عبارتند از: تریاس (سازند الیکا که قسمت اعظم حوضه واژ از این سازند پوشیده شده است)، ژوراسیک (سازند شمشک)، کرتاسه (سنگ آهک، مارن و ...)، اوسن، میوسن و رسوبات کواترنر. رودخانه واژ در جهتی موافق با شیب ارتفاعات و مخالف با روند گسل های منطقه جریان دارد. متوسط بارندگی سالیانه منطقه نیز برابر ۶۹۴/۶ میلیمتر در سال می‌باشد. میانگین دمای سالانه حوضه از ۱۴ درجه سانتیگراد در ارتفاعات ۳۰۰ متر تا حدود ۵ درجه سانتیگراد در ارتفاعات بیش از ۳۰۰۰ متر متغیر است. از کل مساحت این حوزه منطقه‌ای با وسعت ۸۶/۷ کیلومتر مربع را عرصه جنگل و ۵۴/۲۶ کیلومتر مربع را عرصه مرتع در بر گرفته است.

رقموی (DEM) با وضوح بالا و دقت افقی و عمودی در محدوده سانتی‌متری و با هزینه، سرمایه و نیروی کار حتی با سطح تخصص پایین تولید می‌کنند (Fonstad et al, 2013) در نتیجه در مطالعات مختلف مرتبط با رودخانه علی الخصوص در مقیاس بازه کاربرد فراوانی دارند لذا به همین منظور در این مطالعه که هدف آن مطالعه تغییرات مورفومتری رودخانه واژ از روستای جوربند تا چمستان است از تصویربرداری با استفاده از پهپاد استفاده شد.

منطقه مورد مطالعه

حوضه آبخیز واژ در دامنه شمالی سلسله جبال البرز و در جنوب شهر چمستان واقع شده است که از نظر تقسیمات سیاسی، این حوضه در شهرستان نور از استان مازندران قرار دارد. حوضه واژ در شمال به آبادی جوربند، در شرق به حوضه‌های ناپلار رود و آلش رود، در جنوب به حوضه رود هزار و در غرب به حوضه لاویج رود منتهی می‌شود. حوضه واژ دارای جهتی شمالی-جنوبی بوده که قسمت جنوبی حوضه (سرآب) پهن‌تر از قسمت شمالی حوضه (نقطه خروجی) می‌باشد و در نهایت به دریای خزر می‌ریزد (شکل



شکل ۱: موقعیت بازه مورد مطالعه در حوضه واژ

میدانی در فصل‌های مختلف جهت بررسی منطقه و انتخاب تاریخ تصویربرداری انجام شد. با توجه به اینکه مطالعه در مقیاس بازه می‌باشد و نیاز به داشتن تصاویر با رزولیشن بالا و مدل ارتفاعی رقومی (DEM) با دقت سانتی‌متر وجود دارد لذا از روش سنجش از دور و هواپیمای بدون سرنشین یا

مواد و روش‌ها

در این مطالعه ابتدا با استفاده از روش کتابخانه‌ای مقالات علمی داخلی و خارجی مطالعه شد تا پیشینه و روش‌های مختلف استفاده از پهپاد در مطالعات رودخانه‌ای بررسی شود و چارچوب مطالعاتی تهیه گردد. سپس چندین بازدید

(Metashape 1.5.5) انجام و تصویر ارتوفتو و مدل ارتفاعی رقومی (DEM) با دقت سانتی‌متر جهت تهیه مقاطع عرضی استخراج شد. مشخصات مسیر پرواز در جدول ۱ ارائه شده است.

پهبداد (تصویربرداری استرئوسکوپی یا روش فتوگرامتری برد کوتاه) جهت برداشت تصاویر استفاده شد. به دلیل نبود تاج درختان و پوشش گیاهی در فصل زمستان در بهمن ماه ۱۳۹۹ برداشت و تصویربرداری انجام شد. پس از تصویربرداری پردازش آن در نرم‌افزار متاشیپ

جدول ۱: مشخصات پرواز با پهبداد جهت برداشت

مدل پهبداد	ارتفاع پرواز	نوع پرواز	خط پرواز	طول پرواز (متر)	پوشش طول و عرضی
Mavic 2 Pro	۷۰ متر	اتوماتیک	۵-۳	۱۵۰-۲۰۰	درصد ۸۰

(رابطه ۱)

$$Q = A \cdot V \quad V = R^{67} S^{5/n}$$

در این معادله؛ V : سرعت جریان به متر در ثانیه (m/s)، n : ضریب زبری مانینگ، R : شعاع هیدرولیکی (m)، S : شیب کanal بر حسب متر بر متر، Q : دبی متر مکعب در ثانیه (m^3/s) و A : مساحت مقاطع عرضی (m^2). تنوع و پیچیدگی مورفولوژیکی اشکال کanal با استفاده از تعیین مساحت شاخص تقارن کanal نسبت به خط مرکزی جریان مشخص شد (Knighton, 1981; Milne, 1983; Rayburg and Sheldrick, 1988; Neave, 2008) شاخص عدم تقارن کanal (رابطه ۲).

(رابطه ۲)

$$A^* = A_{Rt} - A_{Lt} / A$$

در این معادله A برابر با شاخص عدم تقارن از منظر خط مرکزی کanal، A_{Rt} =مساحت قسمت راست کanal نسبت به خط مرکزی، A_{Lt} =مساحت قسمت چپ کanal نسبت به خط مرکزی. دامنه مقادیر محاسبه شده بین -1 و $+1$ است در حالی که مقادیر نزدیک به 0 نشان از تقارن کanal می‌دهد و شاخص هرچه به مقدار $1 \pm$ نزدیک باشد نشان دهنده وضعیت نامتقارن شکل کanal است. برای تعیین تفاوت در شکل کanal و برای مقایسه مقادیر مختلف مقاطع در بازه بالادست و پایین دست از رابطه ۳ مورد استفاده قرار گرفته است (Roy and Sahu, 2018).

(رابطه ۳)

$$V_{u-p} = V_{Down} - V_{up} / V_{up} * 100$$

در این معادله V_{u-p} برابر با درصد تفاوت مقدار بین بالادست و پایین دست هرجفت مقطع، V_{Down} برابر با مقادیر پایین دست، V_{up} برابر با مقادیر بالادست. مقدار مثبت نشان دهنده افزایش خصوصیات کanal در بازه پایین دست نسبت به بازه بالادست است، در حالی که مقدار منفی به معنای

تولید مدل ارتفاعی رقومی و ارتوفتو به صورت مراحل زیر می‌باشد:

۱) قبل از برداشت: شامل کالیبره کردن دوربین پهبداد و بررسی تنظیمات مانند زاویه پرواز، رزویشن و ... و تنظیم خطوط پرواز در بازه موردنظر.

۲) برداشت: شامل الف: توزیع GCP (Ground Comtrol Station) یا نقاط کنترل زمینی، ب: پرواز پرنده طبق خط پرواز، ج: برداشت مشخصات نقاط کنترل زمینی با GPS یا دوربین توتال، د: برداشت‌های تکمیل کننده مانند اندازه گیری عمق آب، دبی لبالی و ...

۳) پس از برداشت: شامل مراحل: الف: انتقال عکس‌ها به محیط نرم‌افزار متاشیپ، ب: توجیح نسبی (تولید ابر نقاط نیمه متراکم)، ج: معرفی نقاط کنترل زمینی، ح: تولید ابر نقاط متراکم، و: کلاس‌بندی ابر نقاط به نقاط زمینی و غیر زمینی، ه: تولید شبکه چند ضلعی، ن: تولید مدل ارتفاع رقومی، و: تولید ارتوفتو

۴) انتقال لایه رقومی ارتفاع و ارتوفتو به محیط نرم‌افزار ArcGIS جهت ترسیم پروفیل‌های عرضی و طولی.

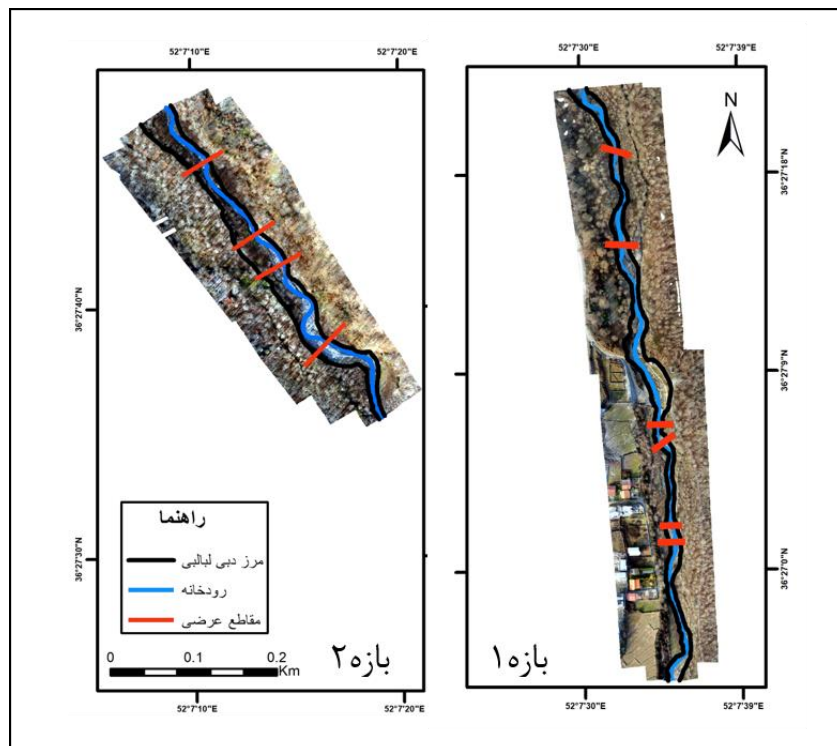
برای تشریح جریان آب در کanal رودخانه پارامترهای کanal و جریان مانند عرض کanal (W)، میانگین عمق کanal (d)، حداقل عمق کanal (d_{max})، مساحت مقطع عرضی (A)، سرعت جریان (V)، عرض کanal مستعد سیل (wf/w) (۲*d_{max})/wf، نسبت عمق کanal (ER) (wf/w)، ضریب انحنای رود یا شاخص سینوسیته (SI)، نسبت عرض به عمق (w/d)، قدرت جریان (w)، عدد فرود (f)، شاخص تقارن فرم بستر (A^*) مورد بررسی قرار می‌گیرد. جهت برآورد سرعت جریان و دبی از معادله مانینگ استفاده شد (Hosseinzadeh and esmaeili, 2014) (رابطه ۱).

شده و با استفاده از آن سرعت جريان، دبی، قدرت رود، تنش برشی و سایر پارامترهایی که برای کمی کردن فرایندهای کanal مهم هستند محاسبه شده‌اند. ثبت نیمرخ عرضی یک روش عینی و قابل تکرار است که داده‌های کمی را در مورد هر دو سطح رسوب و فرسایش که بین دو بازه زمانی متفاوت اتفاق افتاده فراهم می‌کند. اگر هدف از انتخاب بازه‌ها و مقاطع عرضی تخمین سرعت جريان و مقدار دبی جهت رسیدن به یک رابطه باشد از انتخاب بازه‌هایی که دچار پهن شدگی یا عمیق شدگی شده‌اند و یا کارهای ساختاری بر روی آنها صورت گرفته، دارای ریپ رپ هستند و یا سیمانی می‌باشند، چالاب‌های بزرگ یا دارای شیب تند محلی هستند اجتناب می‌شود. همچنانی زیر شاخه‌ها نباید در اندازه‌گیری بازه رودخانه وارد شوند. از مقاطع عرضی با شکل غیرمعمول باید اجتناب نمود. نیمرخ عرضی مناسب در صورت امکان باید به صورت مستطیلی تا ذوزنقه‌ای انتخاب شوند. از مقاطعی که در قسمت بالادست یا پایین دست رود از زیرشاخه‌هایی که تغییر مساحت زهکشی بیش از ۱۰ درصد دارند نیز باید اجتناب شود. در شکل ۲ مقاطع عرضی ترسیم شده در بازه شماره ۱ و ۲ نشان داده شده است.

کاهش مقدار پایین دست در مقایسه با همتای بالادست است. شاخص سینوسیته که در آن نسبت طول رود به طول دره است نشان از خمیدگی کanal است که بر پایه طبقه بندي بریلی و فریس (Brierley and Fryirs, 2005) کanal‌های با نسبت سینوسیته کمتر از ۱/۰۵ به عنوان الگوی مستقيمه، نسبت بين ۱/۰۶ - ۱/۳ سينوسی و بزرگتر از ۱/۳ نيز به عنوان رودخانه‌های پیچان Hosseinzadeh ans esmaeili, (2014).

بحث و نتایج

تغییرات عرضی کanal در ۲ بازه از رودخانه واژ مورد بررسی قرار گرفت. اولین مرحله تحلیل شامل ساخت مدل ارتفاعی براساس خروجی از تصاویر بدست آمده بهوسیله پهپاد در محیط نرمافزار متاشیپ با اندازه پیکس ۴/۶ سانتی‌متر است. سپس پروفیل‌های عرضی کanal بر روی آن ترسیم شد. با استفاده از اندازه‌گیری مقاطع عرضی کanal، داده‌هایی شامل عرض و عمق کanal فعال، مساحت مقطع عرضی، عمق متوسط، شاعع هیدرولیک و نسبت پهنا به عمق کanal رود محاسبه گردید. این مقادیر با داده‌های هیدرولیک ترکیب

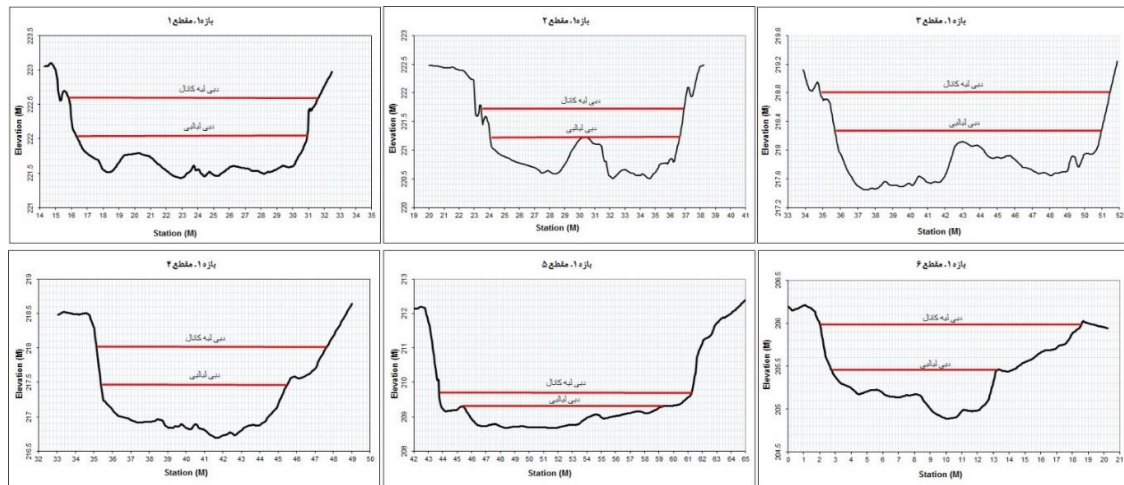


شکل ۲: مقاطع ترسیم شده در بازه‌های مورد مطالعه

مورفومتریک جهت ترسیم نیميخ عرضی از روی مدل رقومی ارتفاعی موجود (تهیه شده توسط پهبا) استخراج و به محیط اکسل منتقل شد و در ادامه محاسبات مربوط به پارامترهای هیدرومتری و مورفومتری در جریان دبی لبالی و دبی لبه کanal انجام گرفت (جدول ۲).

داده‌های مورفومتریک و هیدرومتریک در بازه ۱

بازه اول به طول ۹۰۰ متر در امتداد رودخانه واژ در پایین دست روستای جوریند انتخاب و نیميخ عرضی کanal در ۶ مقطع براساس ویژگی‌هایی که پیش‌تر اشاره شده است تهیه گردید (شکل ۳). برای هر یک از مقاطع اطلاعات



شکل ۳: نیميخ عرضی مقاطع ترسیم شده در بازه ۱

است. از نظر شاخص تقارن، مقاطع ۱، ۲ و ۶ دارای تقارن و مقاطع ۳، ۴ و ۵ دارای عدم تقارن می‌باشند. در این بازه میانگین تنش برشی ۹۶/۶۲ و میانگین قدرت مخصوص ۱۰۰/۰۸ در دبی لبالی در مرحله آستانه فرسایشی ۱۷۰/۹۸ نیوتن بر متر مربع برای تنش برشی و ۳۰۰ وات بر متر مربع) قرار دارد اما در دبی لبه کanal در تمامی مقاطع مقدادر میانگین تنش برشی ۱۵۷/۲۷ و میانگین قدرت مخصوص رود ۴۷۱/۶۵ امکان فرسایش کanal و جایه‌جایی رسوبات را فراهم می‌کند.

براساس اندازه‌گیری‌های انجام شده میانگین سرعت جریان در وضعیت دبی لبالی ۱/۷ متر بر ثانیه و میانگین سرعت جریان در وضعیت لبه کanal برابر با ۲/۵۳ متر بر ثانیه بوده است. دبی متوسط رودخانه در این بخش در وضعیت دبی لبالی تقریباً ۹/۱ متر مکعب بر ثانیه و دبی در وضعیت لبه کanal برابر با ۲۹/۲۱ متر مکعب بر ثانیه بوده است. شبیه بازه در مقاطع مختلف متفاوت بوده است و از ۰/۰۲ متر بر متر تا ۰/۰۳ متر بر متر متغیر بوده است. الگوی کanal در این بازه سینوسی تک کanalی نسبتاً محدود تا محدود بوده

جدول ۲: مقادیر پارامترهای هیدرومتری و مورفومتری در دبی لبالی و دبی لبه کanal در بازه ۱

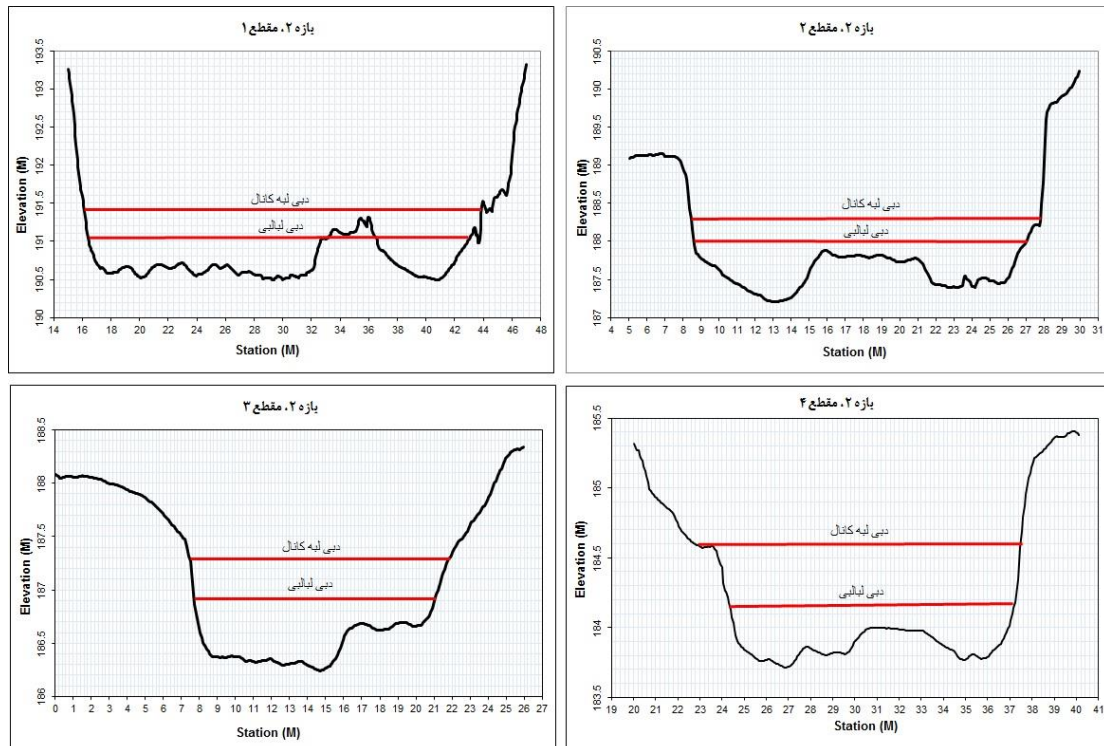
جدول ۲: مقادیر پارامترهای هیدرومتری و مورفومتری در دبی لبالی و دبی لبه کanal در بازه ۱																	پارامتر								
مقاطع از بازه ۱			مقاطع از بازه ۲			مقاطع از بازه ۳			مقاطع از بازه ۴			مقاطع از بازه ۵			مقاطع از بازه ۶										
دبی لبالی	دبی لبه کanal	دبی لبلالی	دبی لبه کanal	دبی لبلالی	دبی لبه کanal	دبی لبه کanal	دبی لبلالی	دبی لبه کanal	دبی لبلالی	دبی لبه کanal	دبی لبلالی	دبی لبه کanal	دبی لبلالی	دبی لبه کanal	دبی لبلالی	مساحت مقاطع عرضی (A)									
۴/۹۳	۱۱/۳۳	۵/۷۶	۱۲/۵۴	۴/۵۸	۱۰/۷۸	۵/۳۷	۱۱/۸۳	۹/۱۴	۱۱/۴۱	۵/۶۵	۱۴/۷۸	۰/۳۸	۰/۶۲	۰/۳۷	۰/۶۹	۰/۴۷	۰/۸۳	۰/۳۶	۰/۷۱	۰/۴	۰/۷۵	۰/۳۸	۰/۷۳	شعاع هیدرومتری (R)	
۰/۳۸	۰/۶۲	۰/۳۷	۰/۶۹	۰/۴۷	۰/۸۳	۰/۳۶	۰/۷۱	۰/۴	۰/۷۱	۰/۴	۰/۷۵	۰/۳۸	۰/۷۳	۰/۷۳	۰/۷۳	۰/۷۳	۰/۷۳	۰/۷۳	۰/۷۳	۰/۷۳	۰/۷۳	۰/۷۳	۰/۷۳	سروت جریان (V)	
۱/۸۴	۲/۰۷	۱/۰۹	۲/۰۹	۱/۰۶	۲/۷	۱/۰۸	۲/۴۵	۱/۶۹	۲/۵۴	۱/۶۲	۲/۵۱	۰/۳۸	۰/۶۴	۰/۶۴	۰/۶۴	۰/۶۴	۰/۶۴	۰/۶۴	۰/۶۴	۰/۶۴	۰/۶۴	۰/۶۴	۰/۶۴	۰/۶۴	حداکثر عمق کanal (Dmax)
۰/۶۸	۱/۱۱	۰/۶۲	۱/۰۲	۰/۷۱	۱/۲۴	۰/۶۸	۱/۰۷	۰/۷۲	۱/۰۷	۰/۷۲	۱/۱۸	۰/۵۷	۰/۵۷	۰/۵۷	۰/۵۷	۰/۵۷	۰/۵۷	۰/۵۷	۰/۵۷	۰/۵۷	۰/۵۷	۰/۵۷	۰/۵۷	۰/۵۷	میانگین عمق جریان (d)
۰/۳۸	۰/۶۴	۰/۳۸	۰/۷۳	۰/۹۴	۰/۸۸	۰/۳۸	۰/۷۵	۰/۴۳	۰/۸۴	۰/۳۹	۰/۷۷	۰/۳۸	۰/۳۸	۰/۳۸	۰/۳۸	۰/۳۸	۰/۳۸	۰/۳۸	۰/۳۸	۰/۳۸	۰/۳۸	۰/۳۸	۰/۳۸	۰/۳۸	عرض کanal (W)
۱۲/۸	۱۷/۷	۱۵/۱	۱۷/۵	۹/۹	۱۲/۳	۱۵	۱۵/۷	۱۲/۵	۱۲/۵	۱۳/۷	۱۴/۵	۱۵/۱	۱۴/۵	۱۴/۵	۱۴/۵	۱۴/۵	۱۴/۵	۱۴/۵	۱۴/۵	۱۴/۵	۱۴/۵	۱۴/۵	۱۴/۵	۱۴/۵	عرض کanal (W)

													نسبت عرض (w/d) به عمق
													عرض کanal
													مستعد (wf)
													نسبت عمق کanal (ER)
													شب (S)
													دبی (Q)
													عدد فرود (f)
													شاخص سینوسیته (SI)
													شاخص عدم تقارن (A*)
													تنش برشی (τ)
													قدرت جریان (Ω)
													قدرت مخصوص جریان (G)

از روی مدل رقومی ارتفاعی موجود (تهیه شده توسط پهپاد) استخراج و به محیط اکسل منتقل شد و در ادامه محاسبات مربوط به پارامترهای هیدرومتری و مورفومتری در جریان دبی لبالی و دبی لبه کanal انجام گرفت (جدول ۳).

داده‌های مورفومتریک و هیدرولوژیک در بازه ۲

بازه دوم به طول ۴۷۰ متر در امتداد رودخانه واژ در بالادست شهر چمستان انتخاب و نیمرخ عرضی کanal در ۴ مقطع تهیه گردید (شکل ۴). همانند بازه اول برای هر یک از مقاطع اطلاعات مورفومتریک جهت ترسیم نیمرخ عرضی



شکل ۴: نیمرخ عرضی مقاطع ترسیم شده در بازه ۲

می‌کند. کاهش سرعت جریان نتیجه کاهش شعاع هیدرولیک و شبکه کanal می‌باشد و چون تنفس برشی براساس شعاع هیدرولیک و شبکه است به واسطه کاهش این دو پارامتر شاهد کاهش تنفس برشی خواهیم بود. همچنین کاهش شبکه کanal کاهش قدرت رود را به دنبال دارد. از طرف دیگر در بحث قدرت شکل‌زاویه جریان، قدرت مخصوص رود تعیین کننده خواهد بود که متأثر از تغییر عرض کanal است. وقتی تفاوت تنفس برشی بین دو بازه بیشتر می‌شود در بازه‌ای که تنفس برشی بیشتر است فرسایی بیشتر، عرض کمر و تعداد موائع و پشت‌های کمر می‌شود. همچنین حفری که به واسطه حذف پوشش گیاهی ایجاد شده است باعث تمرکز جریان و افزایش قدرت رود شده است. بنابراین افزایش قدرت رود باعث افزایش فرسایش و به دنبال آن وقوع فرسایش جانبی کanal و حمل رسوبات آبرفتی می‌شود. فرسایی مستقیماً به واسطه برداشت شن و ماسه در بخش‌های بالادست بازه‌های مورد مطالعه ایجاد شده است. تاثیر دخالت‌های انسانی به‌ویژه برداشت شن و ماسه مختص یک مکان نیست و اثرات خود را در پایین دست و بالادست خواهد گذاشت.

براساس اندازه‌گیری‌های انجام شده میانگین سرعت جریان در وضعیت دبی لبالی $1/17$ متر بر ثانیه و میانگین سرعت جریان در وضعیت لبه کanal برابر با $1/69$ متر بر ثانیه بوده است. دبی متوسط رودخانه در این بخش در وضعیت دبی لبالی تقریباً $9/16$ متر مکعب بر ثانیه و دبی در وضعیت لبه کanal برابر با $29/25$ متر مکعب بر ثانیه بوده است. شبکه بازه در مقاطع مختلف متفاوت بوده است و از $0/03$ متر بر متراً $0/03$ متر بر متراً متغیر بوده است. الگوی کanal در این بازه سینوسی محدود بوده است. از نظر شاخص تقارن همه مقاطع دارای عدم تقارن می‌باشند. در این بازه میانگین تنفس برشی $46/44$ و میانگین قدرت مخصوص $55/83$ در دبی لبالی با توجه به آستانه‌های تعریف شده (100 نیوتن بر متراً مربع برای تنفس برشی و 300 وات بر متراً مربع) فرسایی و جابه جایی رسوبات وجود ندارد و رودخانه در مرحله رسوبگاری قرار دارد. همچنین در دبی لبه کanal در تمامی مقاطع مقادیر میانگین تنفس برشی $119/67$ و میانگین $277/81$ قدرت مخصوص رود می‌باشد که در مرحله آستانه فرسایشی قرار می‌گیرد و امکان فرسایش کanal و جابه جایی رسوبات به صورت خیلی محدود را فراهم

جدول ۳: مقادیر پارامترهای هیدرومتری و مورفومتری در دبی لبالی و دبی لبه کanal در بازه ۲

مقطعه ۴ از بازه ۲						مقطعه ۳ از بازه ۲						مقطعه ۲ از بازه ۲						مقطعه ۱ از بازه ۲						بارامتر	
	دبی لبالی	لبه کanal	دبی لبالی	لبه کanal	دبی لبالی		دبی لبالی	لبه کanal	دبی لبالی	لبه کanal	دبی لبالی		دبی لبالی	لبه کanal	دبی لبالی	لبه کanal	دبی لبالی	لبه کanal	دبی لبالی	لبه کanal	(A)	(R)			
$5/04$	$10/88$	$5/28$	$11/08$	$9/1$	$15/6$		$8/19$	18															مساحت مقطع عرضی(A)		
$0/37$	$0/68$	$0/39$	$0/74$	$0/4$	$0/76$		$0/36$	$0/62$															شعاع هیدرولیک(R)		
$1/79$	$2/67$	$1/72$	$2/64$	$1/21$	$1/87$		$1/13$	$1/63$															سرعت جریان(V)		
$0/55$	$2/94$	$0/63$	$2/83$	$0/79$	$1/21$		$0/51$	$0/89$															حداکثر عمق کanal(Dmax)		
$0/54$	$0/71$	$0/4$	$0/77$	$0/41$	$0/8$		$0/36$	$0/65$															میانگین عمق جریان(d)		
$13/2$	$15/3$	$12/2$	$14/4$	$18/4$	$19/6$		$22/6$	$27/7$															عرض کanal(W)		
$24/4$	$21/5$	23	$18/7$	$44/87$	$24/5$		$62/77$	$42/61$															نسبت عرض به عمق(w/d)		
$1/1$	$5/88$	$1/26$	$5/66$	$1/58$	$2/42$		$1/02$	$1/78$															عرض کanal مستعد سیل(wf)		
$0/08$	$0/38$	$0/095$	$0/4$	$0/085$	$0/12$		$0/045$	$0/064$															نسبت عمق کanal(ER)		
$0/026$	$0/026$	$0/026$	$0/026$	$0/0126$	$0/0126$		$0/0126$	$0/0126$															شبکه(S)		
$9/04$	$29/3$	$9/08$	$29/18$	$9/1$	$29/2$		$9/22$	$29/35$															دبی(Q)		
$0/63$	$0/7$	$0/7$	$0/71$	$0/97$	$1/03$		$0/97$	$1/11$															عدد فرود(f)		
$1/1$	$1/1$	$1/1$	$1/1$	$1/1$	$1/1$		$1/1$	$1/1$															شاخص سینوسیته(SI)		
$-0/1$	$-0/1$	$-0/1$	$-0/1$	$-0/1$	$-0/1$		$-0/1$	$-0/1$															شاخص عدم تقارن(A*)		
$10/9/44$	$198/76$	$99/58$	$188/41$	$48/96$	$94/08$		$43/92$	$76/56$															تنفس برشی(t)		
$2643/33$	$8488/94$	$2318/5$	$7444/29$	$1125/04$	$9/36/37$		$1140/47$	$3628/79$															قدرت جریان(Q)		
$200/71$	$553/99$	$175/12$	$517/26$	$61/11$	$185/24$		$50/56$	$130/93$															قدرت مخصوص جریان(G)		

داده در سطوح رها شده توسط پوشش گیاهی پوشیده می‌شود. به واسطه محدود شدن کanal و فروسايي، مورفومتری کanal تغيير کرده و اين باريک شدن با توجه به اصل پيوستگي جريان باعث افزایش سرعت جريان، تنش برشی و قدرت مخصوص جريان در بازه می‌شود. وقوع سيلابهای بزرگ که به صورت دورهای رخ می‌دهد نيز می‌تواند تغييرات نسبتاً قابل توجهی را بر روی مورفومتری کanal ايجاد کند. رودخانه واز در طول سالهای گذشته در بازه‌های زمانی ۲ تا ۵ ساله شاهد سيلابهای بزرگی بوده که اين سيلابهای ناگهانی تغييرات اساسی در مورفومتری کanal ايجاد کرده است و باعث تغييرات در اشكال ژئومورفيك کanal نيز شده است. براساس شاخص سينوسите ضريب سينوسите کanal ۱/۰۶ در بازه شماره ۱ می‌باشد که بر پایه طبقه‌بندی بريرلي و فرييس (Brierley and Fryirs, 2005)، کanal‌های با نسبت بين ۱/۳ - ۱/۰۶ به عنوان الگوی سينوسی شناخته شده‌اند.

مقاييسه آماري مقادير بازه ۱ به بازه ۲

ابتدا ميانگين پارامترهای مختلف در وضعیت دبي لبالبي و دبي لبه کanal در هر دو بازه محاسبه گردید. برای مقاييسه مقادير مختلف مقاطع در بازه يك و دو (بالادرست و پايين دست) رابطه ۳ مورد استفاده قرار گرفته است. در دبي لبه کanal پارامترهای مساحت مقطع عرضی، ساع هيدروليک، سرعت جريان، حداکثر و ميانگين عمق کanal، نسبت عرض به عمق، عرض کanal مستعد سيلاب، نسبت عمق کanal، دبي و عدد فرود منفي شده است که نشان دهنده کاهش مقدار اين پارامترها در بازه دو (پايين دست) نسبت به بازه يك (بالادرست) شده است اما دو پارامتر تنش برشی و قدرت مخصوص رود مثبت شده‌اند که نشان دهنده افزایش متغيرهای فوق در بازه دو (پايين دست) نسبت به بازه يك (بالادرست) است. در دبي لبالبي کanal، تمامی پارامترها به جز قدرت مخصوص رود منفي شده است. که نشان از کاهش مقادير در بازه دو نسبت به بازه يك است اما در پارامتر قدرت مخصوص رود افزایش در پايين دست نسبت به بالادرست وجود داشته است (جدول ۴).

در ادامه پژوهش تغييرات مقاطع عرضی در دو بازه مورد بررسی قرار گرفت. در بازه اول به واسطه برداشت شن و ماسه، ايجاد جاده در عرض کanal و ايجاد کanal فرعی، در ترکيب و جنس کرانه راست رودخانه و در بازه دوم يا پايين دست به واسطه ساخت سيل بند تغييرات ايجاد شده در رژيم جريان و رسوب رودخانه مشاهده شده است. براساس مدل‌های تحولی کanal (CEM) که مفهوم آن تنظيمات فرایيندهای غالب در طول زمان در يك مكان می‌باشد در مرحله اول رودخانه دارای فرسايش اوليه بستر است و به دنبال آن ناپايداري کرانه و عريض شدن کanal رخ می‌دهد. در مراحل بعدی رسوبگذاري و بالا آمدن سطح بستر در پايين دست را به دنبال خواهد داشت و فروسايي بستر به صورت عام اولين مرحله تعديل کanal بعد از دخالت‌های انساني خواهد بود که به دنبال آن تعريض شدن کanal رخ می‌دهد. زيرا ارتفاع کرانه به وضعیت بحرانی می‌رسد و منجر به شکست کرانه می‌شود (ترکيب و جنس کرانه نيز تاثيرگذار است). سپس رسوبگذاري بر روی بستر در جهت پايين دست شروع می‌شود زيرا رسوبات وارد شده به کanal به واسطه شکست کرانه از بالادرست به پايين دست منتقل می‌شود و ادامه اين روند منجر به ايجاد دشت‌های سيلاني جديد می‌شود. هرچند اين مراحل تحولی می‌تواند به واسطه متغيرهای مختلفی مانند كنترل شرایط زمين‌شناسي بستر، مورفلوژي کanal و مواد تشکيل دهنده بستر و کرانه و شدت دخالت‌های انساني دچار تغيير شود. عريض شدن کanal منجر به ايجاد يك مقطع عرضی در رودخانه شده در حالی که کاهش عرض رودخانه و باريک شدن آن باعث فروسايي و ايجاد تراس‌های جديد در حاشيه رودخانه خواهد شد. ناپايداري کرانه‌ها ناشی از حفر يا فروسايي بستر در نهاييت منجر به تعريض کanal می‌شود. شرایط فوق يك عامل اصلی در رودخانه‌های تک کanalی با رسوبات ريزدانه و چسبنده است در حالی که فرایيندهای فوق در کanal‌های سينوسی، عريض و با رسوبات درشت دانه كمتر رخ می‌دهد. البته در بخش‌هایی از رودخانه که به واسطه برداشت شن و ماسه، بار بستر کاهش پیدا می‌کند تمرکز جريان و حفر کanal رخ

جدول ۴: درصد نسب تفاوت‌های پارامترهای کanal در بالا دست و پايين دست

پارامتر	مساحت مقطع عرضی(A)	بازه ۱	بازه ۲	بازه ۱	بازه ۲	بازه ۱	بازه ۲
		لبه کanal	دبي لبالبي	لبه کanal	دبي لبالبي	لبه کanal	دبي لبالبي
		لبه کanal	دبي لبالبي	لبه کanal	دبي لبالبي	لبه کanal	دبي لبالبي
U-D	U-D	دبي لبالبي	لبه کanal	دبي لبالبي	لبه کanal	دبي لبالبي	لبه کanal
-۹۳/۱	-۸۶/۱۱	۶/۹	۱۳/۸۹	۵/۹	۱۲/۱۱	(A)	

-۹۹/۶۲	-۹۹/۳	۰/۳۸	۰/۷	۰/۴	۰/۲	شعاع هیدرولیک (R)
-۹۸/۵۴	-۹۷/۸	۱/۴۶	۲/۲	۱/۷	۲/۵۲	سرعت جریان (V)
-۹۹/۳۸	-۹۸/۰۴	۰/۶۲	۱/۹۶	۰/۶۶	۱/۱	حداکثر عمق کanal (Dmax)
-۹۹/۵۸	-۹۹/۲۷	۰/۴۲	۰/۷۳	۰/۴۸	۰/۷۷	میانگین عمق جریان (d)
-۸۳/۱۵	-۸۰/۷۵	۱۶/۸۵	۱۹/۲۵	۱۳/۳	۱۵/۳۴	عرض کanal (W)
-۵۸/۷۴	-۷۳/۱۸	۴۱/۲۶	۲۶/۸۲	۳۳/۲	۲۰/۴۵	نسبت عرض به عمق (w/d)
-۹۸/۷۶	-۹۶/۰۷	۱/۲۴	۳/۹۳	۱/۳۲	۲/۲	عرض کanal مستعد سیل (wf)
-۹۹/۹۳	-۹۹/۷۶	۰/۰۷	۰/۲۴	۰/۲۱	۰/۱۴۵	نسبت عمق کanal (ER)
-۹۰/۸۹	-۷۰/۷۵	۹/۱۱	۲۹/۲۵	۹/۱	۲۹/۲	دبي (Q)
-۹۹/۱۹	-۹۹/۱۱	۰/۸۱	۰/۸۹	۰/۹۵	۱/۰۹	عدد فرود (f)
-۲۴/۵۳	۳۹/۴۵	۷۵/۴۷	۱۳۹/۴۵	۹۶/۶۲	۱۷۵/۲۷	تنش برشی (τ)
۲۱/۸۷	۲۴۶/۸۵	۱۲۱/۸۷	۳۴۶/۸۵	۱۷۰/۹۹	۴۷۱/۶۵	قدرت مخصوص جریان (G)

ویژگی‌های هیدرولیک از جمله سرعت جریان، تنش برشی و قدرت مخصوص رود شده است. این تفاوت باعث تنوع اشكال ژئومورفیک در بازه‌های مورد مطالعه شده است. بررسی آماری مقادیر در بازه بالا دست نسبت به بازه پایین دست نشان داد که پارامترهای تنش برشی و قدرت مخصوص رود افزایشی و پارامترهای مساحت مقطع عرضی، شعاع هیدرولیک، سرعت جریان، حداکثر و میانگین عمق کanal، نسبت عرض به عمق، عرض کanal مستعد سیلاب، نسبت عمق کanal، دبی و عدد فرود کاهشی بوده است.

سیاستگذاری

نویسنده‌گان این مقاله از هیچ سازمان یا ارگانی کمک مالی دریافت نکرده‌اند.

References

- Bangen, S.G., Wheaton, J.M., Bouwes, N., Bouwes, B. and Jordan, C., 2014. A methodological intercomparison of topographic survey techniques for characterizing wadeable streams and rivers, *Geomorphology*, v. 206, p. 343-361.
- Brierley, G.L. and Fryirs, K., 2005. *Geomorphology and River Management: Application of the River Style framework*. Blackwell publishing, UK. 398 p.
- Dietrich, J.T., 2016. Riverscape mapping with helicopter-based structure-from-motion photogrammetry, *Geomorphology*, v. 252, p. 144-157.
- Fonstad, M.A., Dietrich, J.T., Courville, B.C., Jensen, J.L. and Carbonneau, P.E., 2013. Topographic structure from motion: A new development in photogrammetric measurement, *Earth Surface Processes and Landforms*, v. 38, p. 421-430.
- Flener, C., Vaaja, M., Jaakkola, A., Krooks, A., Kaartinen, H., Kukko, A., Kasvi, E., Hyppä, H., Hyppä, J. and Alho, P., 2013. Seamless mapping of river channels at high resolution using mobile LiDAR and UAV-photography. *Remote Sens*, v. 5, p. 6382-6407.
- Hosseinzadeh, M. and Esmaili, R., 2014. River geomorphology, concepts, forms and processes, Shahid Beheshti University Publications, 338 p (In persian).
- Hughenholz, C.H., Whitehead, K., Brown, O.W., Barchyn, T.E., Moorman, B.J., LeClair, A., Riddell, K. and Hamilton, T., 2013. Geomorphological mapping with a small unmanned aircraft system (sUAS):

نتیجه‌گیری

نتایج بدست آمده از این مطالعه نشان داد که داده‌های بدست آمده از پهیاد به دلیل دقت بالای هندسی و قدرت تفکیک بالا امکان استخراج داده‌های مورفومتری و هیدرولوژیک مرتبط با کanal و نیمرخ‌های عرضی را فراهم می‌کند. این داده‌ها با توجه به دقت بالا می‌توانند جایگزین مناسبی برای کارهای میدانی از قبیل نقشه‌برداری با انواع دوربین‌ها باشد. تصاویر ارتوتوپ تهیه شده با استفاده از پهیاد امکان شناسایی عوارض و لندفرم‌های ژئومورفیک رودخانه را با دقت مناسب فراهم نموده است. براساس مقایسه داده‌های بدست آمده در دو بازه از رودخانه واژ مشخص گردید که مقاطع مختلف در بالا دست و پایین دست یکسان نیستند و تغییرات در ویژگی‌های مورفومتریک باعث تغییر

- Feature detection and accuracy assessment of a photogrammetrically-derived digital terrain model. *Geomorphology*, v. 194, p. 16-24.
- Knighton, A.D., 1981. Asymmetry of river channel cross-section: part 1, Quantitative indices, *Earth Surface Processes and Landforms*, v. 6, p. 581-588.
- Khairi, A., Hosseinzadeh, M.M. and Sadouq Vanini, S., 2022. The effect of transverse structures (bridges) on river morphology (case study: Jorband village, Chamestan, Mazandaran), *Earth Science Research*, v. 13(1), p. 150-171 (in Persian).
- Lejot, J., Delacourt, C., Piégay, H., Fournier, T., Trémélo, M. and Allemand, P., 2007. Very high spatial resolution imagery for channel bathymetry and topography from an unmanned mapping controlled platform. *Earth Surf. Process. Landforms*, v. 32, p. 1705-1725.
- Milne, J.A., 1983. Variation in cross-sectional asymmetry of coarse bedload river channels, *Earth Surface Processes and Landforms*, v. 8, p. 503-511.
- Miříjovský, J., Michalková, M.Š., Petyniak, O., Máčka, Z. and Trizna, M., 2015. Spatiotemporal evolution of a unique preserved meandering system in Central Europe the Morava River near Litovel. *Catena*, v. 127, p. 300-311.
- Nex, F. and Remondino, F., 2014. UAV for 3D mapping applications: A review. *Applied Geomatics*, v. 6, p. 1-15.
- Oguchi, T., Hayakawa, Y.S. and Wasklewicz, T., 2022. Remote Data in Fluvial Geomorphology: Characteristics and Applications, *Treatise on Geomorphology*, v. 6, p. 1116-1141.
- Passalacqua, P., Belmont, P., Staley, D.M., Simley, J.D., Arrowsmith, J.R., Bode, C.A., Crosby, C., DeLong, S.B., Glenn, N.F., Kelly, S.A., Lague, D., Sangireddy, H., Schaffrath, K., Tarboton, D.G., Wasklewicz, T. and Wheaton, J.M., 2015. Analyzing high resolution topography for advancing the understanding of mass and energy transfer through landscapes: A review. *Earth-Science Reviews*, v. 148, p. 174-193.
- Rayburg, S.C. and Neave, M., 2008. Assessing morphological complexity and diversity in river systems using three-dimensional asymmetry indices for bed elements, bedforms and bar units. *River Research and Applications*, v. 24, p. 1343-1361. doi:10.1002/rra.1096.
- Roy, S. and Sahu, A.S., 2018. Potential interaction between transport and stream networks over the lowland rivers in Eastern India, *Journal of Environmental Management*, v. 197, p. 316-330.
- Sofia, G., 2020. Combining geomorphometry, feature extraction techniques and Earth-surface processes research: The way forward. *Geomorphology*, v. 355, Doi: 10.1016/j.geomorph.2020.107055
- Wyrick, J.R., Senter, A.E. and Pasternack, G.B., 2014. Revealing the natural complexity of Fluvial morphology through 2D hydrodynamic delineation of river landforms, *Geomorphology*, v. 210, p. 14-22.
- Westoby, M.J., Brasington, J., Glasser, N.F., Hambrey, M.J. and Reynolds, J.M., 2012. Structure from-motion photogrammetry: A low-cost, effective tool for geoscience applications, *Geomorphology*, v. 179, p. 300-314.
- Woodget, A.S., Carboneau, P.E., Visser, F. and Maddock, I.P., 2014. Quantifying submerged fluvial topography using hyperspatial resolution UAS imagery and structure from motion photogrammetry, *Earth Surface Processes and Landforms*, v. 40, p. 47-64.